

Электромеханический резонанс в магнитоэлектрических слоистых структурах

© М.И. Бичурин, В.М. Петров, С.В. Аверкин, А.В. Филиппов

Новгородский государственный университет им. Ярослава Мудрого,
Великий Новгород, Россия

E-mail: Mirza.Bichurin@novsu.ru

(Поступила в Редакцию 9 марта 2010 г.)

Рассматривается магнитоэлектрический эффект в слоистых композитах для случая тонкой прямоугольной пластины и тонкого диска при условии, что размеры образца меньше длины электромагнитной волны. Теоретическая модель основана на точном решении уравнений движения среды и использует материальные параметры исходных компонентов структуры.

1. Введение

Магнитоэлектрический (МЭ) эффект в композитах наблюдается в механически связанных магнитоэлектрической и пьезоэлектрической фазах, но не наблюдается ни в одной из фаз отдельно. Благодаря магнитоэлектрической связи при воздействии магнитного поля в ферритовом компоненте создаются упругие напряжения, которые передаются в пьезоэлектрическую фазу и изменяют поляризацию вследствие пьезоэлектрического эффекта. Поскольку МЭ-эффект в композитах наблюдается в механически связанных магнитоэлектрической и пьезоэлектрической компонентах, он резко увеличивается вблизи частоты электромеханического резонанса (ЭМР).

Резонансное усиление МЭ-взаимодействия в слоистых магнитоэлектрически-пьезоэлектрических структурах было рассмотрено ранее [1,2]. В указанных работах при решении уравнения движения среды применен метод эффективной среды, при этом для количественной оценки МЭ-коэффициентов использовались статистические эффективные параметры структуры. Попытки расчета МЭ-эффекта в слоистых магнитоэлектрически-пьезоэлектрических структурах на основе использования характеристик исходных компонентов были предприняты в работах [3–6]. Для учета неидеального контакта между слоями в этих работах смещение пьезоэлектрического слоя ${}^p u_x(x)$ выражалось через смещение магнитного слоя ${}^m u_x(x)$ при помощи соотношения ${}^p u_x = \beta {}^m u_x(x) + (1 - \beta) {}^p u_x^{(0)}(x)$, где β — коэффициент связи между фазами, ${}^p u_x^{(0)}(x)$ — смещение пьезоэлектрика при отсутствии связи с ферромагнетиком. При расчете смещений пьезоэлектрической и магнитной фаз автор использовал волновые числа для свободных слоев — ${}^m k$ и ${}^p k$. В случае идеального контакта ($\beta = 1$) необходимо обеспечить равенство смещений двух слоев на границе, ${}^p u_x(x) = {}^m u_x(x)$, а это невозможно при ${}^m k \neq {}^p k$. Таким образом, предложенные модели МЭ-эффекта в слоистых магнитоэлектрически-пьезоэлектрических структурах [3–6] нельзя считать адекватными.

2. Теоретическая модель МЭ-эффекта

Теоретическая модель, представленная в настоящей работе, основана на точном решении уравнений движения среды и использует материальные параметры исходных компонентов структуры.

Механические колебания МЭ-композита могут быть вызваны как переменным магнитным полем, так и переменным электрическим полем. Если размеры композита гораздо меньше длины электромагнитной волны, то можно пренебречь градиентами электрического и магнитного полей внутри образца. Поэтому, основываясь на уравнениях эластодинамики и электростатики, уравнение движения среды можно записать в виде

$$\bar{\rho} \frac{\partial^2 u_i}{\partial t^2} = V \frac{\partial^p T_{ij}}{\partial x_j} + (1 - V) \frac{\partial^m T_{ij}}{\partial x_j}, \quad (1)$$

где $i, j = 1, 2, 3$ — индексы осей (x_1 — ось x , x_2 — ось y , x_3 — ось z), u_i — смещение композита вдоль оси x_i , $\bar{\rho} = V {}^p \rho + (1 - V) {}^m \rho$ — средняя плотность вещества композита, V — объемная доля пьезоэлектрика, ${}^p \rho$, ${}^m \rho$, ${}^p T_{ij}$ и ${}^m T_{ij}$ — плотности и компоненты тензора напряжений пьезоэлектрической и ферромагнитной составляющих соответственно.

Совместное решение закона Гука и уравнения (1) при использовании соответствующих граничных условий позволяет найти МЭ-коэффициент по напряжению. Поскольку решение зависит от формы образца и ориентации электрического и магнитного полей, далее рассмотрены некоторые важные случаи.

2.1. Тонкая прямоугольная слоистая структура. Рассмотрим слоистую структуру, показанную на рис. 1, которая имеет форму тонкой пластины длиной L и шириной W .

Выражения для компонентов деформации магнитного слоя ${}^m S_i$, пьезоэлектрического слоя ${}^p S_i$ и электрического смещения ${}^p D_3$ пьезоэлектрического слоя в случае подмагничивающего поля, направленного перпендику-

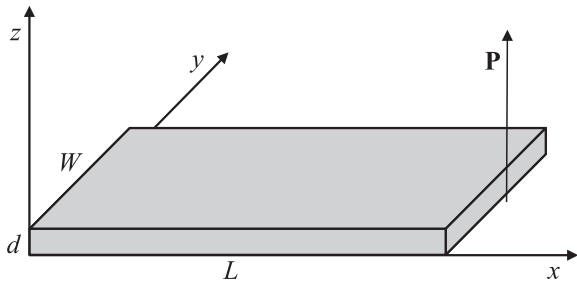


Рис. 1. Тонкая слоистая магнестрикционно-пьезоэлектрическая прямоугольная пластина. Направление поляризации показано стрелкой.

лярно пластине (вдоль оси z), имеют вид

$$\begin{aligned} {}^p S_1 &= {}^p s_{11} {}^p T_1 + {}^p s_{12} {}^p T_2 + {}^p d_{31} E_3, \\ {}^p S_2 &= {}^p s_{12} {}^p T_1 + {}^p s_{11} {}^p T_2 + {}^p d_{31} E_3, \end{aligned} \quad (2)$$

$$\begin{aligned} {}^m S_1 &= {}^m s_{11} {}^m T_1 + {}^m s_{12} {}^m T_2 + {}^m q_{31} H_3, \\ {}^m S_2 &= {}^m s_{12} {}^m T_1 + {}^m s_{11} {}^m T_2 + {}^m q_{31} H_3, \end{aligned} \quad (3)$$

$${}^p D_3 = {}^p \varepsilon_{33} E_3 + {}^p d_{31} ({}^p T_1 + {}^p T_2), \quad (4)$$

где ${}^p T_i$ — компоненты напряжения в пьезоэлектрической фазе, ${}^p s_{ii}$ — коэффициенты податливости пьезоэлектрика при постоянном электрическом поле, ${}^m T_i$ — напряжение в магнитной фазе, ${}^m s_{ii}$ — коэффициенты податливости магнитной фазы при постоянном магнитном поле, ${}^p \varepsilon_{33}$ — диэлектрическая проницаемость, ${}^p d_{31}$ — пьезоэлектрический коэффициент пьезоэлектрика, ${}^m q_{ij}$ — пьезомагнитный коэффициент магнитной фазы, E_3 и H_3 — напряженности электрического и магнитного полей. Вблизи ЭМР можно принять, что ${}^m T_1 \gg {}^m T_2$ и ${}^p T_1 \gg {}^p T_2$ (ось l направлена вдоль поверхности пластины), поэтому величинами ${}^m T_2$ и ${}^p T_2$ можно пренебречь.

Выражения для напряжений ${}^p T_1$ и ${}^m T_1$ могут быть найдены из формул (2) и (4). Если подставить эти выражения в формулу (1), то получится дифференциальное уравнение для u_x . Полагая движение вдоль оси x гармоническим, получаем решение этого уравнения в форме

$$u_x = A \cos(kx) + B \sin(kx), \quad (5)$$

где $k = \omega \sqrt{\bar{\rho} \left[\frac{V}{{}^p s_{11}} + \frac{1-V}{{}^m s_{11}} \right]^{-1}}$; ω — угловая частота. Произвольные постоянные A и B можно найти из граничных условий. Принимая, что поверхности образца при $x = 0$ и $x = L$ свободны от внешнего напряжения, мы получили следующие граничные условия:

$$V {}^p T_1 + (1-V) {}^m T_1 = 0 \quad (6)$$

при $x = 0$ и $x = L$.

При нахождении МЭ-коэффициента по напряжению мы использовали условие разомкнутой цепи

$$\int_0^L {}^p D_3 dx = 0. \quad (7)$$

Подставив (4) в (7) с учетом (5) и (6), мы можем получить

$$\alpha_{E,33} = \frac{2 {}^p d_{31} {}^m q_{31} {}^p s_{11} V (1-V) \operatorname{tg}(kL2)}{s_1 ({}^p d_{31}^2 - {}^p s_{11} {}^p \varepsilon_{33}) kL - 2 {}^p d_{31}^2 V {}^m s_{11} \operatorname{tg}(kL2)}, \quad (8)$$

где $s_1 = V {}^m s_{11} + (1-V) {}^p s_{11}$.

Рассмотрим далее поперечную ориентацию полей, при этом постоянное и переменное магнитные поля направлены вдоль оси x , а пьезоэлектрик поляризован вдоль оси z . В этом случае магнитная индукция \mathbf{B} имеет только одну составляющую B_1 , которая должна удовлетворять условию $\partial B_1 / \partial x = 0$, поскольку $\operatorname{div} \mathbf{B} = 0$. Для этого случая уравнение (3) может быть записано в более удобной форме

$${}^m S_1 = {}^m s_{11}^B {}^m T_1 + {}^m g_{11} B_1, \quad (9)$$

где ${}^m s_{11}^B$ — податливость пьезомагнитной фазы при постоянной магнитной индукции и ${}^m g_{11} = \partial {}^m S_1 / \partial B_1$ — пьезомагнитный коэффициент.

Расчеты, аналогичные приведенным выше для продольной ориентации полей, приводят к следующему выражению для поперечного МЭ-коэффициента по напряжению:

$$\alpha_{E,31} = \frac{2 {}^p d_{31} {}^m g_{11} \mu_{\text{eff}} {}^p s_{11} V (1-V) \operatorname{tg}(kL2)}{s_2 ({}^p d_{31}^2 - {}^p s_{11} {}^p \varepsilon_{33}) kL - 2 {}^p d_{31}^2 V {}^m s_{11}^B \operatorname{tg}(kL2)}, \quad (10)$$

где $s_2 = V {}^m s_{11}^B + (1-V) {}^p s_{11}$. Эффективная проницаемость μ_{eff} может быть найдена из материального уравнения

$$H_1 = -{}^m g_{11} {}^m T_1 + B_1 / {}^m \mu_{11}, \quad (11)$$

где ${}^m \mu_{11}$ — проницаемость магнитной фазы.

Выражая ${}^m T_1$ из уравнения (3) и подставляя его в (11), можно найти μ_{eff} при использовании уравнения (5) после интегрирования по длине образца

$$\mu_{\text{eff}} = \frac{s_2 {}^m s_{11}^B {}^m \mu_{11} kL}{({}^m s_{11}^B + {}^m g_{11}^2 {}^m \mu_{11}) kL s_2 + 2 {}^m g_{11}^2 {}^m \mu_{11} {}^p s_{11} (1-V) \operatorname{tg}(kL2)}. \quad (12)$$

Как видно из уравнений (8) и (10), значение МЭ-коэффициента по напряжению прямо пропорционально произведению пьезоэлектрического d_{31} и пьезомагнитного модулей q_{31} или g_{11} . Следует отметить, что в реальных структурах существуют потери, которые необходимо учитывать в расчетах. При этом даже в идеальных материалах, если нет других видов потерь, существуют потери, связанные с наличием электрического контакта. Указанные потери определяют ширину резонансной линии

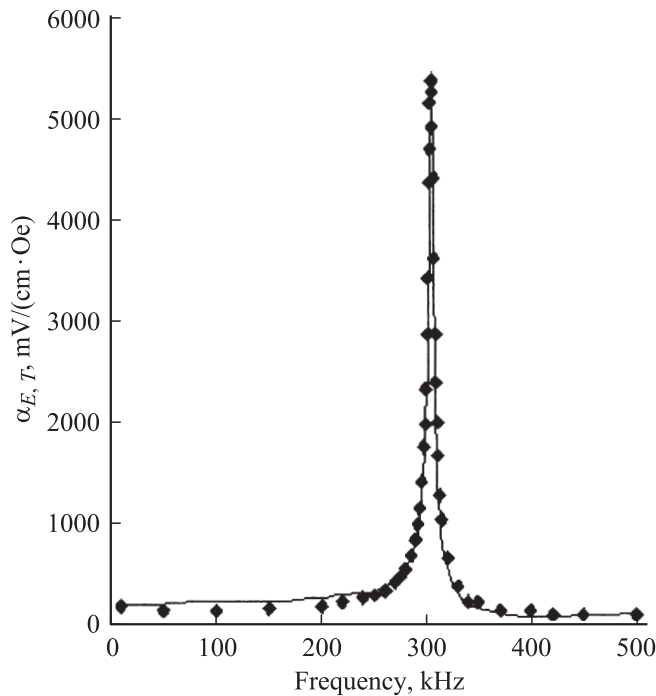


Рис. 2. Частотная зависимость поперечного МЭ-коэффициента по напряжению для двухслойной структуры состава феррит никеля–ЦТС длиной 7.3 мм. Коэффициент потерь принят равным 18 000 rad/s, а объемная доля ЦТС — 0.6. Расчетные данные представлены сплошной линией, экспериментальные — точками.

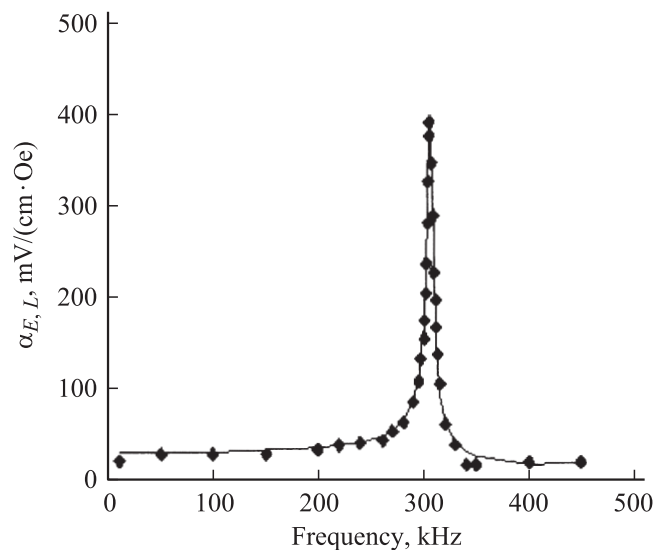


Рис. 3. Частотная зависимость продольного МЭ-коэффициента по напряжению для двухслойной структуры состава феррит никеля–ЦТС. Параметры и обозначения те же, что на рис. 2.

и максимальное значение МЭ-коэффициента. Ширина резонансной линии может описываться коэффициентом потерь χ , фигурирующим в мнимой части k или ω , которые становятся комплексными величинами. Мы будем использовать $\omega = \omega' + i\chi$ при описании потерь, причем

значение χ может быть определено по ширине резонансной линии. Корни знаменателя в выражениях (8) и (10) определяют максимум в частотной зависимости МЭ-коэффициента по напряжению.

В качестве примера были определены МЭ-коэффициенты по напряжению для двухслойной структуры состава феррит никеля–ЦТС (цирконат-титанат свинца). Образцы предварительно поляризовались в постоянном электрическом поле $E = 4 \text{ kV/mm}$ в течение 3 часов при температуре 80°C . Сначала была измерена зависимость низкочастотного МЭ-эффекта от подмагничивающего поля для получения максимально возможных значений пьезомагнитных коэффициентов. Вычисления были выполнены на основе следующих значений материальных параметров исходных компонент. Для никелевого феррита: $m_{s11} = 6.5 \cdot 10^{-12} \text{ m}^2/\text{N}$, $m_{s12} = -2.4 \cdot 10^{-12} \text{ m}^2/\text{N}$, $m_{q31} = 70 \cdot 10^{-12} \text{ m/A}$, $m_{q11} = -680 \cdot 10^{-12} \text{ m/A}$, $m_{q12} = 125 \cdot 10^{-12} \text{ m/A}$, $m_{\epsilon33/\epsilon_0} = 10$; для ЦТС: $p_{s11} = 15.3 \cdot 10^{-12} \text{ m}^2/\text{N}$, $p_{s12} = -5 \cdot 10^{-12} \text{ m}^2/\text{N}$, $p_{d31} = -175 \cdot 10^{-12} \text{ m/V}$, $p_{\epsilon33/\epsilon_0} = 1750$. Параметр потерь был эмпирически определен по ширине линии ЭМР.

На рис. 2 и 3 показаны частотные зависимости продольного и поперечного МЭ-коэффициентов по напряжению для двухслойной структуры состава феррит никеля–ЦТС. На этих рисунках можно видеть резонансные пики, вызванные колебаниями вдоль оси x . Максимальное значение МЭ-коэффициента ($4160 \text{ mV}/(\text{cm} \cdot \text{Oe})$) наблюдается для поперечной ориентации полей, тогда как его значение на частоте в 100 Hz составляет $144 \text{ mV}/(\text{cm} \cdot \text{Oe})$. Таким образом, резонансное значение МЭ-коэффициента превышает низкочастотное значение приблизительно в 30 раз. Для продольной ориентации полей величина МЭ-эффекта меньше приблизительно на порядок. Это связано с существованием размагничивающего поля, которое уменьшает внутреннее поле в магнитной компоненте.

2.2. Дискобразная слоистая структура. Далее рассмотрим магнитоэлектрично-пьезоэлектрическую структуру в форме диска радиусом R и толщиной d , который имеет тонкие металлические электроды на верхней и нижней поверхностях, как показано на рис. 4.

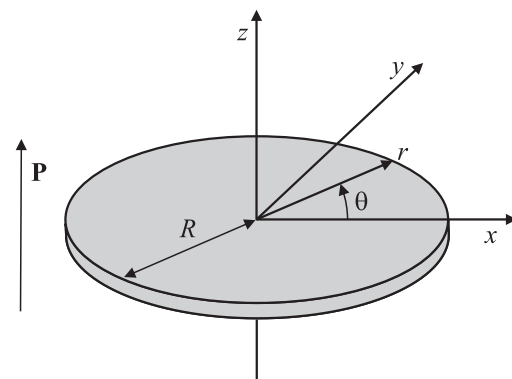


Рис. 4. Дискобразная магнитоэлектрично-пьезоэлектрическая пластина. Направление поляризации показано стрелкой.

Пусть образец поляризован нормально относительно плоскости электродов вдоль оси z . Постоянное и переменное магнитные поля также могут быть направлены вдоль нормали или в плоскости электродов, которые описывают случаи продольного и поперечного расположения поля соответственно. Благодаря магнитострикции приложенное постоянное магнитное поле будет возбуждать как толщинные, так и радиальные колебания. В настоящей работе рассматриваются наиболее низкочастотные радиальные колебания.

Предполагается, что диск является тонким, т. е. $d \ll R$. Поскольку поверхности свободны от внешних сил, нормальные составляющие напряжений будут равны нулю на нижней и верхней поверхностях диска. Для тонкого диска можно принять, что составляющая тензора напряжений T_3 равна нулю не только на поверхности, но и во всем объеме диска. Для продольной ориентации полей материальные уравнения определяются формулами (2)–(4).

Учитывая цилиндрическую симметрию диска, целесообразно использовать цилиндрическую систему координат. В этом случае составляющие тензоров напряжения и деформации определяются соотношениями

$${}^i S_1 = {}^i S_{rr} \cos^2(\theta) - 2{}^i S_{r\theta} \sin(\theta) \cos \theta + {}^i S_{\theta\theta} \sin^2(\theta), \quad (13)$$

$${}^i S_2 = {}^i S_{rr} \sin^2(\theta) + 2{}^i S_{r\theta} \sin(\theta) \cos(\theta) + {}^i S_{\theta\theta} \cos^2(\theta), \quad (14)$$

$${}^i T_{rr} = {}^i T_1 \cos^2(\theta) + 2{}^i T_6 \sin(\theta) \cos \theta + {}^i T_2 \sin^2(\theta), \quad (15)$$

$${}^i T_{\theta\theta} = {}^i T_1 \sin^2(\theta) - 2{}^i T_6 \sin(\theta) \cos \theta + {}^i T_2 \cos^2(\theta), \quad (16)$$

$${}^i T_{r\theta} = \sin(\theta) \cos(\theta) [{}^i T_2 - {}^i T_1] + [\cos^2(\theta) - \sin^2(\theta)] {}^i T_6, \quad (17)$$

где $i = p$ или m . Компоненты тензора деформаций в цилиндрических координатах определяются через вектор смещения \mathbf{u}

$${}^i S_{rr} = \frac{\partial u_r}{\partial r}, \quad (18)$$

$${}^i S_{\theta\theta} = \frac{u_r}{r}, \quad (19)$$

$${}^i S_{r\theta} = \frac{1}{r} \frac{\partial u_r}{\partial \theta}. \quad (20)$$

Уравнение движения среды в цилиндрических координатах имеет вид

$$-\bar{\rho} \omega^2 u_r = V \left(\frac{\partial {}^p T_{rr}}{\partial r} + \frac{\partial {}^p T_{r\theta}}{r \partial \theta} + \frac{{}^p T_{rr} - {}^p T_{\theta\theta}}{r} \right) + (1 - V) \left(\frac{\partial {}^m T_{rr}}{\partial r} + \frac{\partial {}^m T_{r\theta}}{r \partial \theta} + \frac{{}^m T_{rr} - {}^m T_{\theta\theta}}{r} \right). \quad (21)$$

Подстановка выражений для напряжений, найденных из обобщенного закона Гука, в уравнение (21) позволяет получить дифференциальное уравнение для радиального смещения. Однако форма этого уравнения зависит от ориентации электрического и магнитных полей. Далее

мы рассматриваем МЭ-эффект для продольной и поперечной ориентаций полей отдельно.

2.2.1. Продольная ориентация электрического и магнитного полей. В этом случае направление постоянного и переменного магнитных полей совпадает с направлением поляризации. Учитывая осевую симметрию дискообразного образца, можно получить следующие выражения для ненулевых компонент деформации:

$$\begin{aligned} {}^p S_{rr} &= {}^p s_{11} {}^p T_{rr} + {}^p s_{12} {}^p T_{\theta\theta} + {}^p d_{31} E_3, \\ {}^m S_{rr} &= {}^m s_{11} {}^m T_{rr} + {}^m s_{12} {}^m T_{\theta\theta} + {}^m q_{31} H_3, \\ {}^p S_{\theta\theta} &= {}^p s_{12} {}^p T_{rr} + {}^p s_{11} {}^p T_{\theta\theta} + {}^p d_{31} E_3, \\ {}^m S_{\theta\theta} &= {}^m s_{12} {}^m T_{rr} + {}^m s_{11} {}^m T_{\theta\theta} + {}^m q_{31} H_3. \end{aligned} \quad (22)$$

Решив эти уравнения относительно компонент напряжений и подставив найденные выражения в формулу (21), мы получили уравнение движения

$$-\omega^2 \bar{\rho} u_r = \left[\frac{V}{{}^p s_{11} (1 - p\nu^2)} + \frac{1 - V}{{}^m s_{11} (1 - m\nu^2)} \right] \times \left(\frac{\partial^2 u_r}{\partial r^2} + \frac{\partial u_r}{r \partial r} - \frac{u_r}{r^2} \right), \quad (23)$$

где $p\nu$ и $m\nu$ — коэффициенты Пуассона для пьезоэлектрической и магнитострикционной фаз.

Решение уравнения (23) есть линейная комбинация функций Бесселя первого и второго рода

$$u_r = C_1 J_1(kr) + C_2 Y_1(kr), \quad (24)$$

где

$$k = \omega \sqrt{\bar{\rho} \left[\frac{V}{{}^p s_{11} (1 - p\nu^2)} + \frac{1 - V}{{}^m s_{11} (1 - m\nu^2)} \right]^{-1}}.$$

Постоянные интегрирования C_1 и C_2 должны быть найдены из граничных условий

$$u_r = 0 \quad \text{при} \quad r = 0 \quad \text{и} \quad T_{rr} = 0 \quad \text{при} \quad r = R.$$

Для определения МЭ-коэффициента по напряжению мы воспользуемся условием разомкнутой цепи

$$\int_0^R r dr \int_0^{2\pi} D_3 d\theta = 0, \quad (25)$$

где электрическая индукция определяется материальным уравнением

$$D_3 = {}^p d_{31} ({}^p T_{rr} + {}^p T_{\theta\theta}) + {}^p \epsilon_{33} E_3. \quad (26)$$

Подставив (24) в (18) и (19), а затем и в (22), получим выражение для компонент напряжения. Используя найденные выражения для компонент напряжения, можно

найти МЭ-коэффициент по напряжению из (25)

$$\alpha_{E,L} = - \frac{2(1+\nu)(1-V)^p s_{11} J_1(kR)^p d_{31}^m q_{31}}{(1-\nu)^p s_{11} [aJ_0(kR) - (1-\nu)s_1 J_1(kR)]^p \epsilon_{33} + 2[aJ_0(kR) - s_3 J_1(kR)]^p d_{31}^2}, \quad (27)$$

где $a = kR s_1$, $s_1 = V^m s_{11} + (1-V)^p s_{11}$, $s_3 = (1-\nu) \times (1-V)^p s_{11} + 2V^m s_{11}$.

Следует отметить, что для упрощения выражения (27) принимается ${}^m \nu = {}^p \nu = \nu$.

2.2.2. Поперечная ориентация электрического и магнитного полей. В этом случае постоянное и переменное магнитные поля перпендикулярны электрическому полю, которое направлено вдоль оси z . Уравнения (22) должны быть переписаны в виде

$${}^p S_{rr} = {}^p s_{11} {}^p T_{rr} + {}^p s_{12} {}^p T_{\theta\theta} + {}^p d_{31} E_3,$$

$${}^m S_{rr} = {}^m s_{11}^B {}^m T_{rr} + {}^m s_{12}^B {}^m T_{\theta\theta} + [{}^m g_{11} \cos^2(\theta\theta) {}^m g_{12} \sin^2(\theta\theta)]_1,$$

$${}^p S_{\theta\theta} = {}^p s_{12} {}^p T_{rr} + {}^p s_{11} {}^p T_{\theta\theta} + {}^p d_{31} E_3,$$

$${}^m S_{\theta\theta} = {}^m s_{12}^B {}^m T_{rr} + {}^m s_{11}^B {}^m T_{\theta\theta} + [{}^m g_{12} \cos^2(\theta\theta) {}^m g_{11} \sin^2(\theta\theta)]_1,$$

$${}^p S_{r\theta} = ({}^p s_{11} - {}^p s_{12}) {}^p T_{r\theta},$$

$${}^m S_{r\theta} = ({}^m s_{11}^B - {}^m s_{12}^B) {}^m T_{r\theta} - 12 \sin(2\theta) ({}^m g_{11} - {}^m g_{12}) B_1. \quad (28)$$

Разрешив систему уравнений (28) относительно компонент напряжения и подставив найденные решения в (21), получим уравнение движения среды с следующей форме:

$$-\omega^2 \bar{\rho} u_r = \left[\frac{V}{{}^p s_{11} (1 - {}^p \nu^2)} + \frac{1-V}{{}^m s_{11} (1 - {}^m \nu^2)} \right] \left(\frac{\partial^2 u_r}{\partial r^2} + \frac{\partial u_r}{r \partial r} - \frac{u_r}{r^2} \right) + \left[\frac{V}{{}^p s_{11} (1 + {}^p \nu)} + \frac{1-V}{{}^m s_{11} (1 + {}^m \nu)} \right] \frac{\partial^2 u_r}{r^2 \partial \theta^2}. \quad (29)$$

Решение уравнения (29), описывающее радиальные колебания, определяется выражением (24), в котором волновое число выражается соотношением

$$k = \omega \sqrt{\bar{\rho} \left[\frac{V}{{}^p s_{11} (1 - {}^p \nu^2)} + \frac{1-V}{{}^m s_{11}^B (1 - {}^m \nu^2)} \right]^{-1}}.$$

Постоянные интегрирования C_1 и C_2 должны быть найдены из граничных условий

$$u_r = 0 \text{ при } r = 0 \text{ и } \int_0^{2\pi} T_{rr} d\theta = 0 \text{ при } r = R.$$

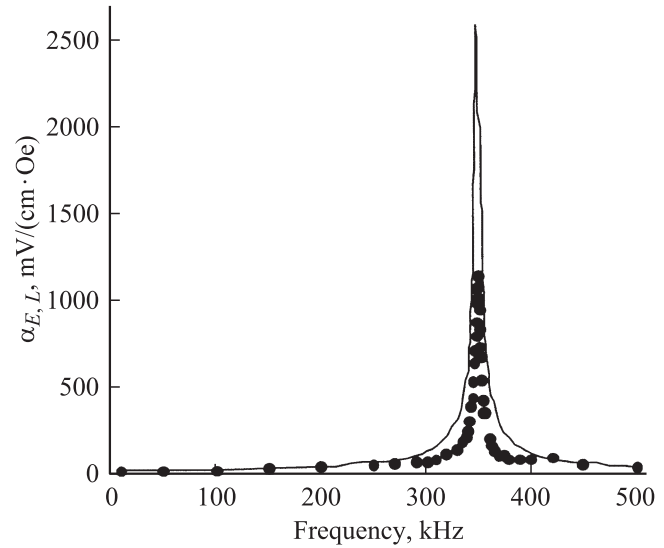


Рис. 5. Частотная зависимость МЭ-коэффициента дискообразного образца для продольной ориентации электрического и магнитного полей. Сплошная линия — расчет, точки — эксперимент. Коэффициент потерь $\chi = 15\,000$ рад/с.

Подставив (24) в (18) и (19), а затем в (28), найдем выражения для компонент напряжения. При использовании найденных компонент напряжений МЭ-коэффициент по напряжению может быть получен из (25)

$$\alpha_{E,T} = - \frac{(1+\nu)(1-V)^p s_{11} J_1(kR)^p d_{31} ({}^m g_{11} + {}^m g_{12}) \mu_{\text{eff}}}{(1-\nu)^p s_{11} [aJ_0(kR) - (1-\nu)s_1 J_1(kR)]^p \epsilon_{33} + 2[aJ_0(kR) - s_3 J_1(kR)]^p d_{31}^2}, \quad (30)$$

где $a = kR s_1$, $s_1 = V^m s_{11}^B + (1-V)^p s_{11}$, $s_3 = (1-\nu) \times (1-V)^p s_{11} + 2V^m s_{11}^B$.

Эффективная проницаемость μ_{eff} может быть найдена аналогично предыдущему разделу. Следует учесть, что ${}^m \nu$ принимается равной ${}^p \nu$ для упрощения выражения (30).

Экспериментальные исследования МЭ-эффекта в дискообразных образцах были выполнены для двухслойной структуры состава никелевый феррит–ЦТС. Использовались образцы в форме диска радиусом $R = 4.7$ мм. Измерения выполнены для обеих ориентаций электрического и магнитных полей — продольной (рис. 5) и поперечной (рис. 6) — в области электромеханического резонанса. Экспериментальные данные и соответствующие теоретические оценки, основанные на уравнениях (27) и (30), представлены на рис. 5 и 6 для продольной и поперечной ориентаций полей соответственно.

Как можно видеть из этих рисунков, между теорией и экспериментом наблюдается хорошее соответствие. Максимальное измеренное значение поперечного МЭ-коэффициента дискообразного образца на резонансе составляет 16 В/(см·Ое), тогда как низочастотное значение — лишь 0.16 В/(см·Ое). Было найдено, что коэффициент потерь для поперечной ориентации полей

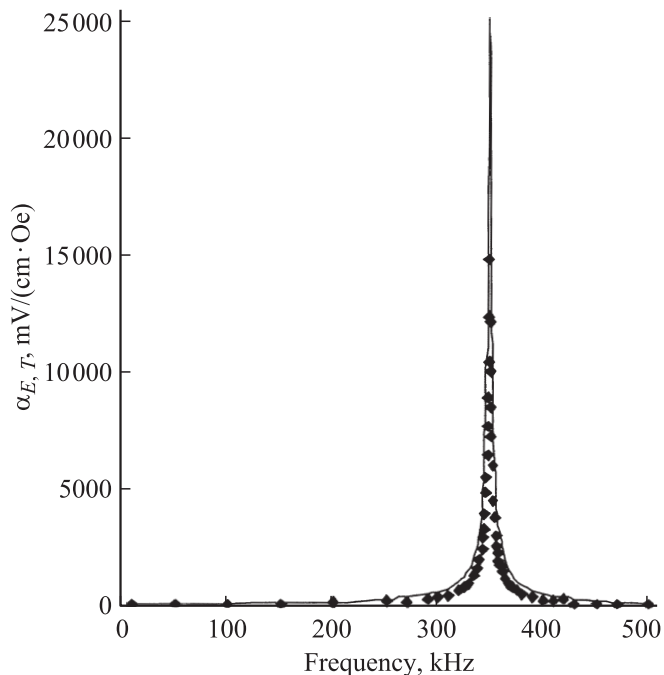


Рис. 6. Частотная зависимость МЭ-коэффициента дискообразного образца для поперечной ориентации полей. Обозначения те же, что на рис. 5. Коэффициент потерь $\chi = 15\,000$ rad/s.

намного меньше, чем для продольной. Это можно объяснить наличием вихревых токов в электродах, существенно увеличивающих потери энергии при продольной ориентации полей. Максимальное значение МЭ-коэффициента для поперечной ориентации полей превышает соответствующее значение для продольной. Это объясняется тем, что при продольной ориентации полей появляются размагничивающие поля, которые уменьшают пьезомагнитные модули. Кроме того, в случае продольной ориентации полей наблюдается увеличение ширины линии ЭМР, связанное с более высокими потерями энергии по сравнению с поперечной ориентацией полей вследствие наличия вихревых токов в электродах.

3. Заключение

Таким образом, в настоящей работе мы представили теорию резонансного усиления МЭ-взаимодействия в области ЭМР. В результате точного решения уравнений электростатики, магнитостатики и электродинамики была получена частотная зависимость для продольного и поперечного МЭ-эффектов. МЭ-коэффициенты по напряжению были оценены исходя из известных материальных параметров компонент композита (пьезоэлектрические и пьезомагнитные коэффициенты, коэффициенты упругости и др.).

Также было показано, что значение МЭ-коэффициентов в области ЭМР приблизительно на два порядка превышает их низкочастотные значения. Было установлено,

что максимальное значение поперечного МЭ-коэффициента при ЭМР выше, чем продольного. Это обусловлено двумя факторами: 1) высокими потерями энергии для продольной ориентации полей вследствие наличия вихревых токов в электродах; 2) влиянием размагничивающих полей, которые уменьшают пьезомагнитные модули.

Результаты вычислений, полученные для слоистой структуры, состоящей из никелевого феррита и ЦТС, согласуются с экспериментальными данными.

Список литературы

- [1] M.I. Bichurin, D.A. Filippov, V.M. Petrov, V.M. Laletsin, N.N. Paddubnaya, G. Srinivasan. *Phys. Rev. B* **68**, 132408 (2003).
- [2] Д.А. Филиппов, М.И. Бичурин, В.М. Петров, В.М. Лалетин, Н.Н. Поддубная, G. Srinivasan. *Письма в ЖТФ* **30**, 1, 15 (2004).
- [3] Д.А. Филиппов. *Изв. вузов. Физика* **12**, 3 (2004).
- [4] Д.А. Филиппов. *ФММ* **99**, 6, 1 (2005).
- [5] Д.А. Филиппов. *Письма в ЖТФ* **30**, 23, 24 (2004).
- [6] Д.А. Филиппов. *ФТТ* **47**, 6, 1082 (2005).